



مجموعه کانیایی و دگرشكلى متاسديمنتها و متابازيتهاي مجموعه توتك، جنوب شرق بوانات، استان فارس

اسماعيل مراديان تشنيزي^۱، ناهيد شبانيان بروجني^۱، عليرضا داوديان دهكردي^۱، حسين عزيزي^۲

۱- دانشکده منابع طبیعی و علوم زمین، دانشگاه شهرکرد، شهرکرد، ایران

۲- گروه مهندسي معدن، دانشکده مهندسي، دانشگاه كردستان، سنندج، ايران

(دریافت مقاله: ۱۴۰۱/۵/۱۲، نسخه نهایی: ۱۴۰۱/۶/۱۵)

چکیده: مجموعه ماقمایی- دگرگونی توتك بعنوان بخشی از کمرنند بوانات در کمرنند دگرگونی فشار بالا- دما پایین پنهان سنندج- سیرجان واقع است. مجموعه توتك از شیستهای، مرمرها، گنیس گرانیتی، متاگرانیت- توتلیت، آمفیبولیت‌ها و متادرلیت با سن‌ها و درجه‌های دگرگونی و دگرشكلى متفاوت تشکیل شده است. با توجه به شواهد صحرايی، سنگ‌ها در سراسر مجموعه توزيع و پراکندگی يکنواختی ندارند و می‌توان مجموعه توتك را به دو زیرپنهانه مرکزی و لبه‌ای تقسیم کرد. در زیرپنهانه مرکزی، متاسدimentها بيشتر بصورت شیست آهکی، میکاشیست، گارنت مسکویت- شیست، کوارتز- فلدسپات- شیست و انواع متابازیت‌ها شامل آمفیبولیت و گارنت- آمفیبولیت هستند. این در حالی است که در زیرپنهانه لبه‌ای، متاسدimentها بیشتر بصورت بیوتیت- اپیدوت- شیست و متابازیت‌ها شامل آمفیبول- شیست و آمفیبولیت هستند. ترکیب شواهد صحرايی و ریزساختاري در متاسدimentها و متابازیت‌هاي هر دو زیرپنهانه بیانگر رخداد دگرشكلى متناسب با دگرگونی در حد رخساره آمفیبولیت تا شیست‌سبز در زیرپنهانه مرکزی و رخداد دگرشكلى متناسب با رخساره دگرگونی شیست‌سبز در زیرپنهانه لبه‌ای است.

واژه‌های کلیدی: مجموعه کانیایی؛ شیست و آمفیبولیت؛ دگرشكلى؛ مجموعه توتك؛ سنندج- سیرجان.

کمک بسزایی به درک فرایندهای دگرشكلى می‌کند [۴-۲]. البته فراگیرترین بافت در مقیاس دانه‌ای می‌تواند بیانگر درجه بازتبلوری باشد که از یک مرحله بحرانی فراتر رفته است [۲]. بنابراین، در مناطق با دگرگونی و دگرشكلى چندمرحله‌ای، بطور معمول شیب‌های بافت با شیب‌های باز تعادل دگرگونی همپوشانی بالایی دارند؛ به بیان دیگر، دگرگونی غالب در مقیاس منطقه‌ای با فراگیرترین بافت در مقیاس دانه‌ای متناظر است [۲-۵]. از این‌رو، ترکیب شواهد صحرايی و رفتار بلورها در سنگ‌ها طی رخدادهای دگرگونی و دگرشكلى نقش قابل توجهی در ارزیابی ریزساختارهای مختلف در سنگ‌ها و سرانجام بازسازی تاریخچه دگرشكلى سنگ‌ها در یک منطقه دارد [۶].

مقدمه

در پنهانه‌های برشی بعنوان جایگاه گسل عمیق، فرایند دگرشكلى بطور یکنواخت عمل نمی‌کند و ممکن است از بخشی به بخش دیگر با ظهور بافت‌های متفاوت در سنگ‌ها نمایان شود [۱]. تفکیک مناطق با فرایندهای دگرشكلى متفاوت ولی همزمان می‌تواند ابزار کلیدی برای فهم تکامل زمین ساختی- گرمایی مجموعه‌های دگرگونی که دستخوش چند فاز دگرشكلى و دگرگونی شده‌اند باشد [۲]. ارزیابی تغییر شکل در مقیاس دانه‌ای و یا بعبارتی تشخیص جایگاه‌های ریزساختاری کانی‌ها از قبیل مکان‌های هسته‌زایی و رشد- فازهای کانیایی جدید، بقایای کانی‌های حفظ شده و یا مکان- هایی که در آن‌ها انحلال و موسمانی بین بلوری رخ می‌دهد

این راستا، آخرین فاز ماقمایی-دگرگونی در پهنه سندج-سیرجان را به برخورد بین صفحه‌های عربی و اوراسیا نسبت می‌دهند [۱۵-۱۳]. سنگ‌های دگرگونی چون انواع گنیس‌ها، شیسته‌ها، مرمرها و متاپسمیت‌های برآمده از سنگ‌های مادر-آتشفشاری، رسوبی و آذرین نفوذی در سراسر این پهنه زمین-ساختاری، اغلب دستخوش فازهای دگرگونی مهم در حد رخساره‌های شیست سبز تا آمفیبولیت [۱۶] و حتی رخساره اکلوژیت [۱۷، ۱۱] و رخساره دگرگونی شیست آبی با شواهدی از دگرگونی قهقهایی در حد رخساره شیست سبز [۱۸] شده‌اند. مجموعه‌های ماقمایی-دگرگونی توتک و سوریان بعنوان بخشی از این پهنه زمین‌ساختاری انواع واحدهای سنگی دگرگونی با سن اواخر نئوپروتروزوئیک تا تریاس را دربرمی‌گیرند (شکل ۱). دگرگونی و دگرشکلی سنگ‌های رخمنون یافته در مجموعه توتک نیز طی همگرایی بین قاره افریقا-عربی با خردقاره ایران رخ داده است و بروزد این سنگ‌ها یک پنجره ساختاری در کمریند کوهزایی زاگرس را به نمایش می‌گذارند [۱۹]. انواع سنگ‌های دگرگون و دگرشکل شده رخمنون یافته در مجموعه توتک را می‌توان بر اساس نوع سنگ مادر به دو دسته با خاستگاه آذرین و رسوبی تقسیم نمود. در این تقسیم‌بندی، گنیس‌گرانیتی (ارتونگنیس)، متاگرانیت‌تؤید و متاآلپیت-گرانیت-ها، متادلریت‌ها و آمفیبولیت‌ها سنگ‌های دگرگون و دگرشکل شده با خاستگاه آذرین فلسلیک و بازیک و شیسته‌ها و مرمرها از سنگ‌های دگرگون و دگرشکل شده با خاستگاه رسوبی محسوب می‌شوند. بر اساس نظر هوشمندزاده و همکاران [۲۰]، مجموعه توتک در معرض دو فاز دگرگونی نوع باروین (فشار متوسط) در برگیرنده دگرگونی رخساره آمفیبولیت در ارتباط با رخدادهای کوهزایی سیمیرین پیشین (تریاس میانی-پسین) و دگرگونی رخساره شیست سبز مربوط با کوهزایی سیمیرین پسین بوده است. این درحالی است که نتایج سن‌سنجدی آرگون-آرگون انجام شده بر کانی مسکوکیت سن دگرگونی ژوراسیک (۱۸۰ میلیون سال) را برای مجموعه توتک ارائه می‌دهد [۷]. احمدی و همکاران [۹] بر این باور هستند که نتایج دما-فشارسنجدی مجموعه‌های کانیایی گارنت-بیوتیت و مسکوکیت در شیسته‌های مجموعه توتک گویای آغاز دگرگونی در دمای ۴۲۳ درجه سانتی‌گراد و فشار ۱/۶ کیلوبار (رخساره دگرگونی شیست‌سبز) و رخداد اوج دگرگونی در دمای ۷۰۸ درجه سانتی‌گراد و فشار ۵/۹ کیلوبار (رخساره دگرگونی

مجموعه‌های ماقمایی-دگرگونی توتک و سوریان در پهنه زمین‌ساختاری سندج-سیرجان در چند کیلومتری شمال روراندگی اصلی زاگرس [۷]، در بردارنده انواع سنگ‌های رسوبی و ماقمایی هستند که در معرض فازهای دگرگونی بعدی بوده‌اند (شکل ۱). گسل مزایجان در جنوب و گسل سوریان در شمال با روندهای شما غرب-جنوب شرق (NW-SE) با سازوکار معکوس و مؤلفه راستا لغز راستبر مجموعه‌های توتک و سوریان را در برگرفته‌اند [۸] (شکل‌های ۱ ب و پ). از پیامدهای عملکرد این پهنه‌های برشی می‌توان به ظهور چند نسل برگوارگی و خطوارگی بر سطح سنگ‌های رخمنون یافته در هر دو مجموعه اشاره کرد [۹، ۸]. احمدی و همکاران [۹] بر این باور هستند که وجود برخی بافت‌های دگرشکلی در میکاشیست‌ها همراه با برگوارگی غالب بر سطح آن‌ها، چون نوارهای S-C و چرخش زیگماهی برشی از پورفیری آواری‌ها نشان می‌دهد که این برگوارگی در طی اعمال یک فاز دگرشکلی برشی شکل‌پذیر بر هر دو مجموعه تشکیل شده‌است. از آنجا که ریزساختارهای دگرشکلی در متاسدیمنت‌ها و متابازیت‌ها مجموعه توتک تاکنون به دقت بررسی نشده‌اند، در این پژوهش با بررسی شواهد صحرایی، ترکیب کانیایی و ارزیابی رفتار کانی‌شناسی شیسته‌ها و آمفیبولیت‌ها در آزمایش‌های سنگ‌نگاری و مقایسه آن‌ها با هم، سرانجام شرایط دگرشکلی این سنگ‌ها در مجموعه توتک تعیین شده است.

موقعیت زمین‌شناسی

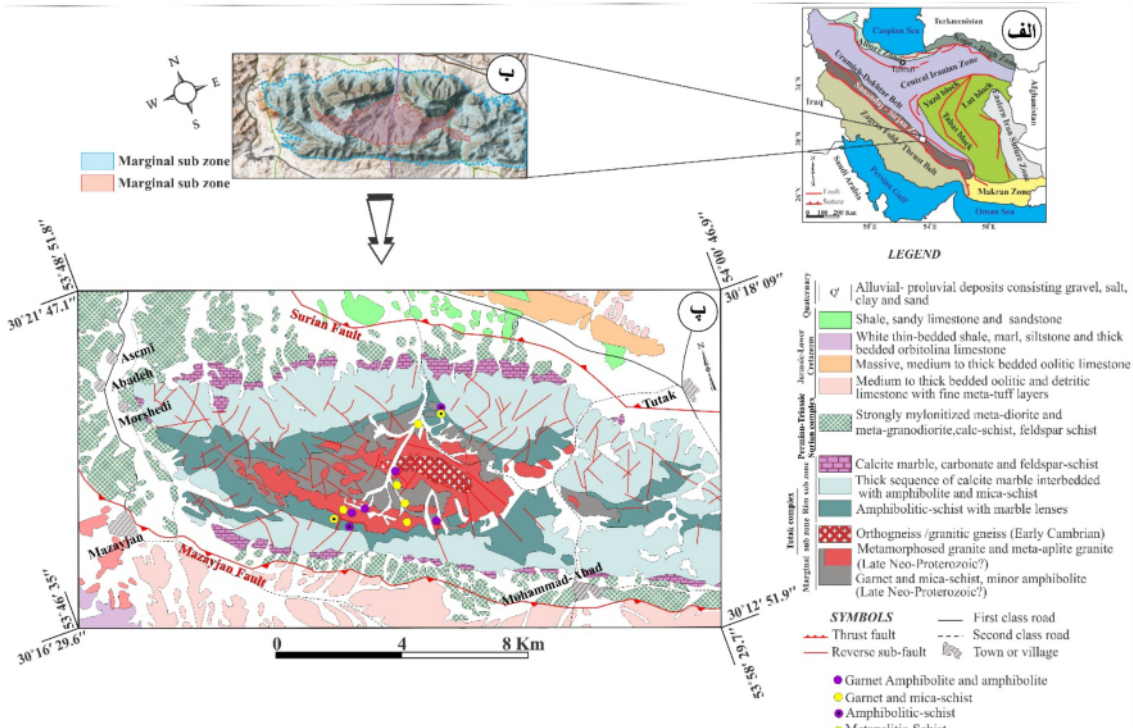
منطقه مورد بررسی در استان فارس، در غرب روستای توتک از توابع شهر سوریان و در ۳۰° کیلومتری شرق بوانات و شمال شرق روستای مزایجان با عرض جغرافیایی $۳۰^{\circ} ۳۵' ۰$ تا $۳۰^{\circ} ۵۳'$ طول جغرافیایی $۵۴^{\circ} ۰$ تا $۵۴^{\circ} ۵$ شرقی، واقع است (شکل ۱ ب). مجموعه ماقمایی-دگرگونی توتک بعنوان بخشی از کمریند بوانات در لبه شمال شرقی سندج-سیرجان کمریند دگرگونی فشار بالا-دما پایین پهنه سندج-سیرجان قرار دارد [۷] (شکل ۱ الف). پهنه سندج-سیرجان با روند NW-SE در کمریند کوهزایی زاگرس از ناآرام‌ترین و به بیانی فعال‌ترین پهنه‌های زمین‌ساختاری ایران است که از پرکامبرین تا سنوزوئیک فازهای مختلف ماقمایی، دگرگونی و دگرشکلی را پشت سرگذاشته است [۱۰، ۱۱]. بیشتر رخدادهای دگرگونی در این پهنه را به فرورانش و بسته شدن اقیانوس نشوتنیس مربوط دانسته و آن‌ها را به مزوژوئیک نسبت داده‌اند [۱۲]. در

زيرپنهه مرکزی، گنيس‌های گرانیتی اوائل کامبرین [۲۱]، متاگرانیت‌هایها و متاپلیت-گرانیت‌ها همراه با میکاشیست‌های دربردارنده میان‌لایه‌های آمفیبولیت دیده می‌شوند (شکل‌های ۲الف و ب). در پاره‌ای از رخنمون‌ها، آمفیبولیت‌ها و شیست‌ها با گنيس‌های گرانیتی دربرگرفته شده‌اند، درحالی‌که مرز مشخصی بین آن‌ها وجود ندارد (شکل ۲ ب و پ). در سنگ‌های این زيرپنهه بطور محلی شبه دایک‌های متادریتی با طول و ضخامت متغیر نفوذ کرده‌اند که می‌تواند بیانگر سن جوان‌تر متادریت‌ها نسبت به سایر سنگ‌ها باشد. اغلب سنگ‌های رخنمون یافته در منطقه (از جمله میکاشیست‌ها، آمفیبولیت‌ها و گنيس‌های) در اثر عوامل دگرشكلي و زمین‌ساخت دارای فراوانی کمتری دارند (شکل‌های ۲ ت و ث). در این برگواره هستند و چین‌خورده‌اند (شکل‌های ۲ ت و ث). در اين زيرپنهه، شدت تنفس بيشتر بوده و اين امر منجر به جدائیش دگرگونی افزون بر برگوارگی، و شکل‌گيری نواهای تیره و روشن (ساخت گنيسي) در گنيس‌های گرانیتی شده است. گارت-میکاشیست‌ها نسبت به سایر شیست‌ها در این زيرپنهه فراوانی کمتری دارند (شکل ۲ ج).

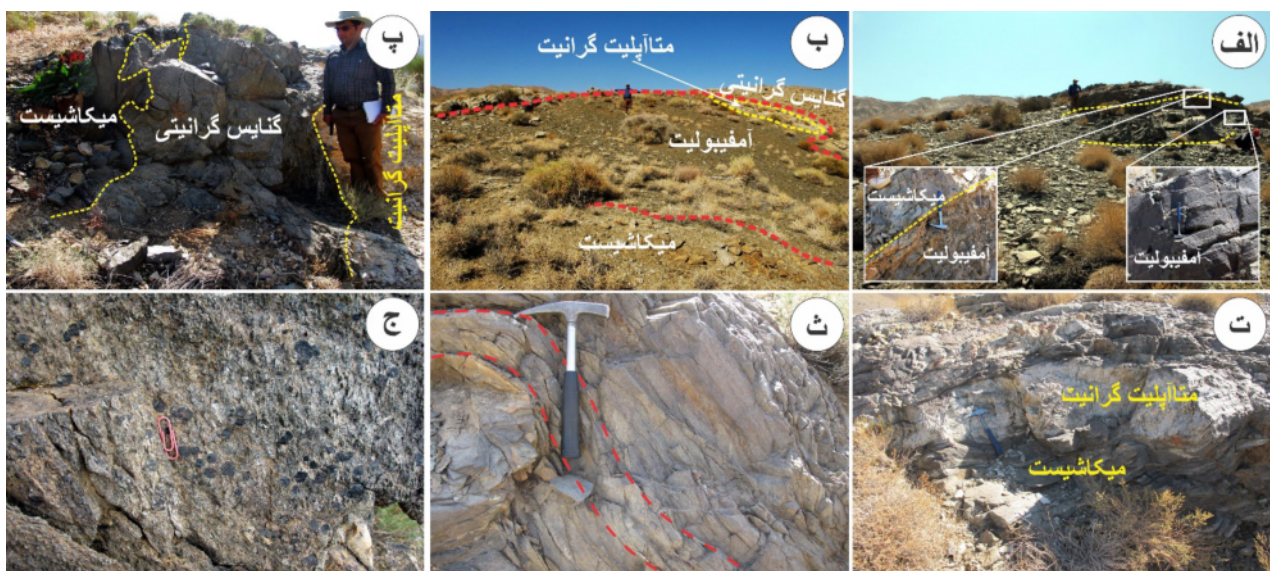
آمفیبولیت) روی شیست‌ها در این مجموعه هستند. به تازگی پژوهش بندخت و همکاران [۲۱] پیرامون فعالیت ماگمایی مجموعه توک بر اساس سن‌سنگی به روش U/Pb K/Ar گرانیتی (ارتونگنیس) این مجموعه بیانگر سن 4 ± 5 میلیون سال برای تبلور سنگ آنهاست که آن‌ها را به فعالیت ماگمایی نوع-کمان کادومین در کرانه شمالی گندوانا در طول ادیاکاران نسبت داده‌اند. آن‌ها بر این باورند که با توجه به شدت اثر مراحل دگرشكلي بعدی، شواهد زمین‌ساختی مربوط به فاز کوهزایی کادومین در این سنگ‌ها از بین رفته است و به احتمال بسیار طی فازهای کوهزایی در ارتباط با دگرگونی نئوتیس دچار دگرگونی شده و به گنيس‌گرانیتی تغییر یافته‌اند [۲۱].

روابط صحراي و سنگشناسي

با درنظر گرفتن روابط سنگ‌ها و تفاوت سنگشناسي واحدهای سنگی از نظر درجه دگرگونی و دگرشكلي و تفاوت سن سنگ مادر در سنگ‌های تشکیل دهنده مجموعه توک می‌توان مجموعه توک را به دو زيرپنهه مرکزی و لبه‌ای تقسیم کرد (شکل‌های ۱ ب و پ) که در ادامه توضیح داده می‌شوند. در



شکل ۱ (الف) موقعیت منطقه مورد بررسی بر ساختاری ایران برگرفته از مرجع [۲۲]. (ب) تصویر مدل رقومی ارتفاعی (DEM) از موقعیت زيرپنهه مرکزی و زيرپنهه لبه‌ای در مجموعه توک. (پ) نقشه زمین‌شناسی ساده شده منطقه [۲۳] برگرفته از مرجع با تغیيرات. موقعیت متاسدیمنت‌های مورد بررسی با دایره‌های زرد رنگ و موقعیت متاپازیت‌های مورد بررسی با دایره‌های بنفش رنگ نشان داده شده‌اند.



شکل ۲ رخنمون آمفیبولیت و میکاشیست در زیرپهنه مرکزی: (الف) میان لایه آمفیبولیت در میکاشیست‌ها، (ب) گئیس‌گرانیتی و متاآلپیت‌گرانیت در همبری با آمفیبولیت و میکاشیست، (پ) همبری متاآلپیت‌گرانیت، گئیس‌گرانیتی و میکاشیست، (ت) میکاشیست و نفوذ متاآلپیت‌گرانیت در آن، (ث) چین خوردگی و برگوارگی در میکاشیست و (ج) درشت بلورهای گارنت در گارنت‌میکاشیست.

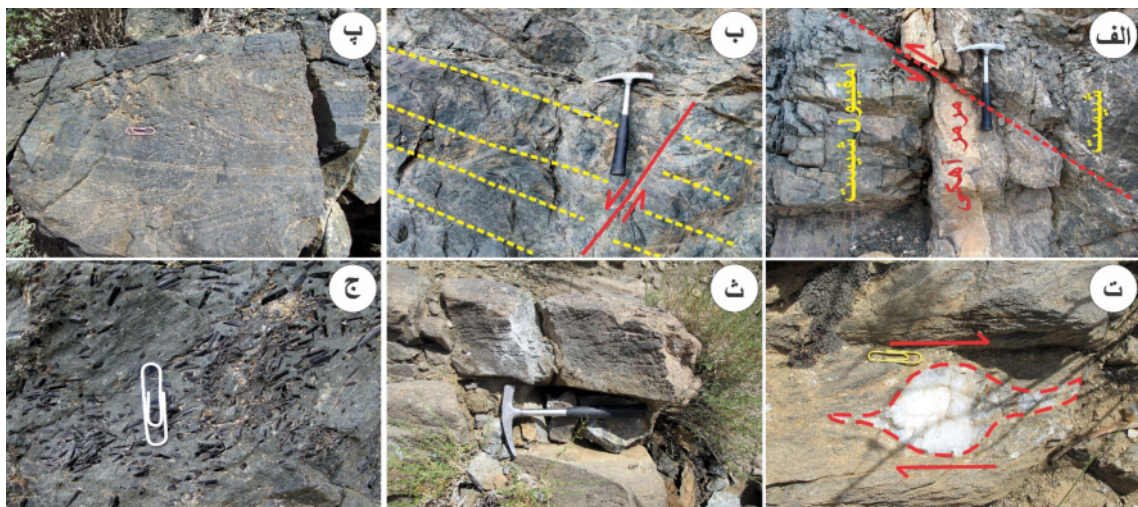
از گارنت دیده می‌شوند (شکل ۳ ج). این در حالی است که در بیشتر زیرپهنه‌های لبه‌ای، شیستهای خاکستری ریزدانه‌ای قابل تشخیص هستند که بصورت بین‌لایه‌ای و متناوب با مرمرهای آمفیبولیت‌شیست‌ها و آمفیبولیت‌ها رخنمون یافته‌اند (شکل‌های ۳ الف و ث).

متابازیت‌ها (آمفیبولیت‌ها) نسبت به سایر سنگ‌های دگرگونه با خاستگاه آذربین در مجموعه پراکندگی محدودتری دارند و با توجه به شواهد صحرایی، به دو دسته تقسیم می‌شوند. دسته اول شامل آمفیبولیت‌ها و گارنت-آمفیبولیت‌های متوسط تا ریزدانه با رنگ سبز تا سبز-خاکستری هستند که اغلب بصورت برگواره‌دار در زیرپهنه مرکزی رخنمون یافته‌اند. این دسته از آمفیبولیت‌ها همراه با میکاشیست‌ها در همبری با گئیس‌های گرانیتی و متاآلپیت‌گرانیت‌ها قرار دارند (شکل ۲ ب). دسته دوم شامل آمفیبولیت‌شیست‌ها و بندرت آمفیبولیت‌های بسیار ریز تا ریزدانه با رنگ سبز هستند که بصورت بین‌لایه‌ای با مرمرهای و شیستهای ریزدانه با برگواره ضعیفتر نسبت به شیستهای در زیرپهنه مرکزی، در بخش‌های بالایی زیرپهنه لبه‌ای و در گوشه شمال غربی مجموعه رخنمون دارند (شکل‌های ۳ الف و ب). کانه‌زایی تورمالین بصورت منشوری-شکل، درشت‌بلور و سیاه‌رنگ به مقدار کم در آمفیبولیت‌شیست‌ها دیده می‌شود (شکل ۳ ج).

در زیرپهنه لبه‌ای، تناوبی از میکاشیست و شیست ریزدانه همراه با میان‌لایه‌هایی از آمفیبولیت، آمفیبولیت-شیست و مرمرهای آهکی دیده می‌شود که این تناوب بتدریج به سمت بالا به مرمرهای ضخیم‌لایه دربردارنده سنگواره‌های دونین تا اوائل کربونیفر می‌رسد [۲۴] (شکل ۳ الف). مانند سایر سنگ‌ها در مجموعه توتک، شواهد ساختاری چون برگوارگی، خطواره‌گی، چین خوردگی، گسل خوردگی و بندرت پورفیری آواری‌های سیلیسی جهت‌یافته متأثر از فازهای دگرگونی و دگرشکلی منطقه کم و بیش بر سطح سنگ‌های رخنمون یافته در این زیرپهنه نمایان هستند (شکل‌های ۳ ب-ت). در ادامه شواهد دگرگونی و دگرشکلی سنگ‌های رخنمون یافته در مجموعه توتک متأثر از این فازها با تمرکز بر شیست‌ها و آمفیبولیت‌ها بررسی می‌شود.

شواهد صحرایی شیست‌ها و آمفیبولیت‌ها

متاسدیمنت‌ها (شیست‌ها) نسبت به سایر سنگ‌های موجود در مجموعه گسترش و فراوانی بیشتری داشته، و از نظر حجم، گستردگی و پراکنش بیشترین مقدار را دارند. در زیرپهنه مرکزی، اغلب شیست‌ها بصورت شیست آهکی، میکاشیست، گارنت-مسکویت-شیست و کوارتز-فلدسپاتی-شیست هستند. در نمونه دستی، این دسته از شیست‌ها بصورت ریز تا متوسط-دانه، به رنگ خاکستری مایل به قهوه‌ای همراه با آثاری پراکنده



شکل ۳ رخنمون شیستهای ریزدانه، آمفیبول-شیستهای در زیرپنه لبه‌ای: (الف) تناوی از مرمر آهکی، شیست ریزدانه و آمفیبول-شیست که دستخوش گسلش معکوس شده، (ب) برگواره در سطح رخنمون آمفیبولیت ریزدانه، (پ) ریزچین در آمفیبول-شیستهای، (ت) پورفیری آواری سیلیسی جهتیافته با حرکت راستبر در شیست، (ث) نمای نزدیک از شیستهای ریزدانه و (ج) درشت بلورهای تورمالین در آمفیبول-شیست.

بلورهای کوارتز بصورت نیمه‌شکل‌دار تا شکل‌دار اغلب با مرزهای آمیبی و بندرت چندگوشی در اندازه متغیر از ریز تا متوسط بلور از فراوان ترین بلورهای تشکیل دهنده زمینه undulose هستند. در دانه‌های کوارتز، خاموشی موجی (extinction) و باز تبلور پویا به شکل برآمده (BLG)، چرخش ریزدانه (SGR)، مهاجرت مرز دانه‌ای (GBM) دیده می‌شود (شکل‌های ۴ ت-خ). ریزساختار مهاجرت مرزدانه سنجاق شده (pinning) در مرز بلورهای فلدسپار گاهی به چشم می‌خورد (شکل ۴ خ). بلورهای فلدسپار (پلاژیوکلاز و فلدسپار قلیایی) بصورت نیمه شکل‌دار تا بی‌شکل در اندازه ریز تا متوسط بلور هستند که در بین کوارتزهای بازتبلوریافته در زمینه دیده می‌شوند، در حالی که اغلب به سریسیت تجزیه شده‌اند (شکل ۴ ت). مهاجرت مرز دانه پنجه‌های به سمت کانی میکا با مقاومت کمتر از شواهد دگرشكلي در فلدسپارهاست (شکل ۵ الف). از بافت‌های دگرشكلي موجود در پلاژیوکلازها می‌توان به ماکل‌های چندريخت خمیده و نوک تیز، نوارهای دگرشكلي پیچ‌خورده و خاموشی موحی اشاره کرد (شکل‌های ۵ ب-ت) همچنین در برخی کانی‌ها چون کلریت، شواهد خمیدگی و پیچ‌خوردنی نیز دیده می‌شود (شکل ۵ ث). کانی بیوتیت اغلب به شکل ورقه‌ای در اندازه ریز تا متوسط بلور به چشم می‌خورد و فراوانی کمی در زمینه دارد (شکل ۵ ج). این کانی اغلب دارای یک دسته رخ خوب با چند رنگی قهقهه‌ای روشن تا قهقهه‌ای تیره موادی با برگوارگی اصلی سنگ است. در برخی نمونه‌ها، بیوتیت‌ها دارای سوزن‌های متقطع روتیل با زاویه حدود ۶۰

روش بررسی
بنظور مطالعات سنگ‌شناسی، طی پیمایش‌های صحرایی، واحدهای سنگی رخنمون یافته از نظر روابط و شواهد صحرایی بررسی شدند و تعداد ۸۰ نمونه از سنگ‌های دگرگونی شیست و آمفیبولیت موجود در هر دو زیرپنه برداشت گردید. سپس از بین نمونه سنگ‌های برداشت شده با کمترین میزان هوازدگی و دگرسانی تعداد ۶۰ مقطع نازک برای بررسی دقیق‌تر و سنگ نگاری تهیه شد.

سنگ نگاری

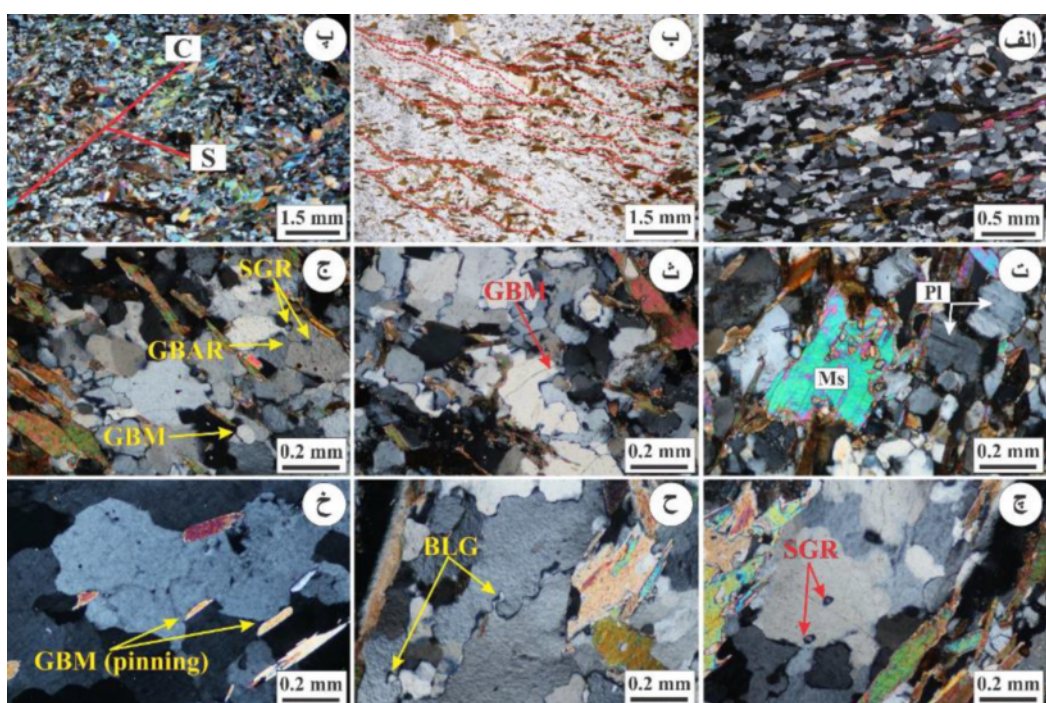
الف-شیستهای و آمفیبولیت‌ها در زیرپنه مرکزی
شیستهای اغلب از یک زمینه ورقه شکفتی تا ورقه دانه شکفتی تشکیل شده‌اند (شکل‌های ۴ و ۵). کانی‌های اصلی این سنگ کوارتز، پلاژیوکلاز، فلدسپار قلیایی، بیوتیت، مسکویت فثریتی و گارنت هستند و کانی‌های فرعی از تیتانیت، کلریت، اپیدوت (کلینوزوئیزیت)، روتیل و کانی‌های کدر تشکیل شده‌اند. کانی‌های بیوتیت و مسکویت برگوارگی اصلی سنگ را تشکیل می‌دهند. گستره برگوارگی (حوزه M) از کانی‌های میکا (بیوتیت و مسکویت) و گستره میکرولیتون (حوزه Q) از کانی‌های کوارتز، فلدسپار قلیایی و پلاژیوکلاز تشکیل شده است. در برخی مقاطع، برگوارگی اصلی سنگ بصورت تقریباً موازی و در برخی دیگر، از نوع فاصله‌دار با شکل ناهموار و شاخه‌ای (شکل‌های ۴ الف-پ). در این راستا، برگوارگی شکنجی و بافت دگرشكلي S-C نیز دیده می‌شود (شکل ۴ پ).

شدن هستند. اپیدوت به دو صورت اپیدوت و کلینوزوئیزیت نیمه شکل دار تا بی‌شکل با فراوانی بسیار کم بصورت پراکنده در زمینه سنگ و همچنین پیرامون بلورهای گارنت دیده می‌شود (شکل‌های ۵ ح و خ).

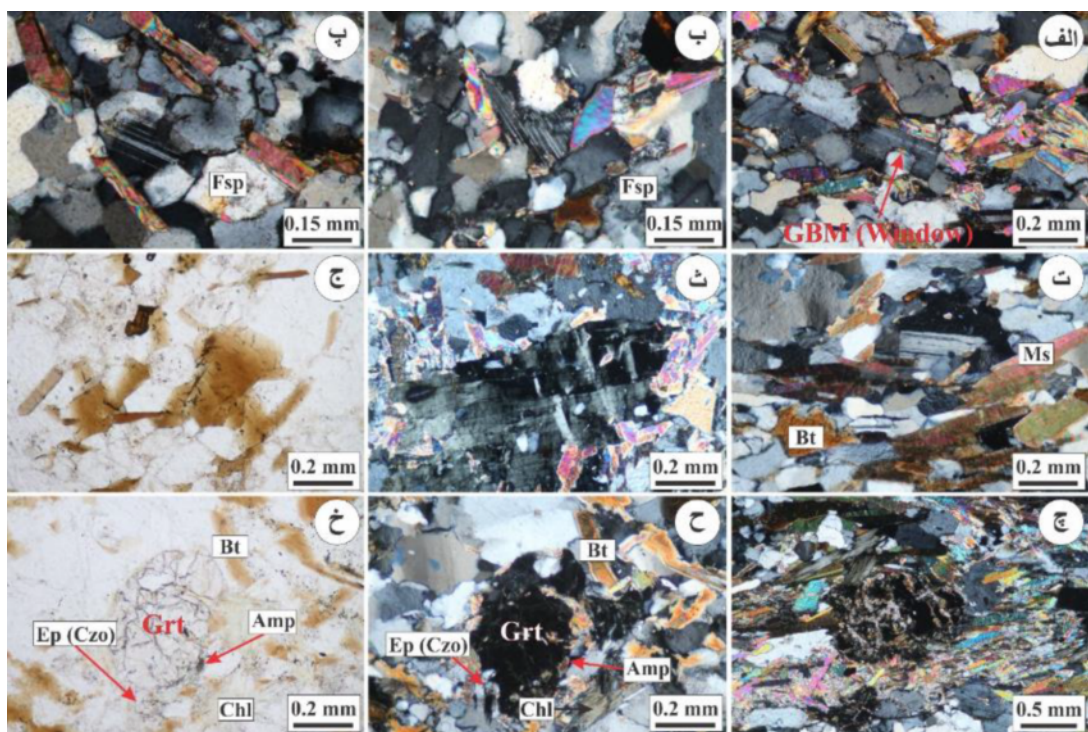
در برخی شیست‌ها، بلورهای گارنت شکل دار تا نیمه‌شکل‌دار در اندازه متوسط تا درشت بلور با فراوانی بسیار کم و دارای شکستگی بصورت متقطع و گاه کششی و عمود بر برگواره دیده می‌شوند. بیشتر شکستگی‌ها با کانی‌های بیوتیت و کلسیت پر شده‌اند (شکل ۵ چ). این گروه از شکستگی‌ها می‌توانند برآمده از یک سازوکار خارجی به احتمال بسیار کشش افقی ناشی از بالا آمدن و سرد شدن سرزمین دگرگونی باشند [۲۷]. همچنین در بخش‌هایی، تحریزه کانی گارنت به آمفیبول و اپیدوت از درون به سمت لبه دیده می‌شود (شکل‌های ۵ ح و خ). کلریت بصورت انبوه‌های سبز تا خاکستری رنگ، رشته‌ای و گاه شعاعی درون شکستگی‌های کانی گارنت و روی کانی بیوتیت دیده می‌شود که می‌تواند بیانگر عملکرد دگرگونی پسروندی بر سنگ‌های مورد بررسی باشد.

درجه در سطح خود هستند که به اصطلاح ایجاد بافت سازنیتی کرده‌اند (شکل ۵ ج). این بیوتیتها به نسبت سالم و بدون خاموشی موجی هستند. به باور شاو و همکاران [۲۵]، تشکیل میانبارها یا سوزن‌های روتیل در بیوتیت سازنیتی می‌تواند در اثر یک فاز دگرگونی جدیدتر باشد. بیوتیت سازنیتی طی فرایند شکست یک بیوتیت غنی از تیتانیوم و کلسیم (بیوتیت تشکیل شده در شرایط دما بالا) و تبدیل آن به بیوتیت تهی از عناصر تیتانیوم و کلسیم طی دگرگونی جایی که بیوتیت غنی از عناصر تیتانیوم و کلسیم دیگر پایدار شکل می‌گیرد، نیست.

مسکویت فنریتی بصورت ورقه‌ای در اندازه ریز تا متوسط-بلور با فراوانی کم دیده می‌شود (شکل‌های ۵ ت، ث و چ)، در حالی که در بخش‌هایی از لبه در حال جایگزین شدن با بیوتیت است. در این راستا، بقایایی از آن نیز در درشت بلورهای بیوتیت دیده می‌شود. از شواهد دگرشکلی در بیوتیت‌ها و مسکویت‌ها می‌توان به خاموشی موجی، خمیدگی و شکنجی اشاره نمود. بلورهای سوزنی شکل روتیل در اندازه ریز کمابیش در شیست‌ها دیده می‌شوند که اغلب از لبه در حال ایلمنیتی



شکل ۴ (الف) بافت ورقه شکفتی تا ورقه دانه شکفتی و برگواره موادی در شیست‌ها (در نور قطبیده متقطع، XPL). (ب) برگواره شاخه‌ای (در نور قطبیده صفحه‌ای، PPL). (پ) بافت دگرشکلی S-C (XPL). (ت) حضور کانی‌های کوارتز بازتیلور بافته و سریبیتی شدن در راستای ماکلهای پلازیوکلاز (XPL). (ث) مهاجرت مرزدانه‌ای دانه‌های کوارتز (XPL). (ج) مهاجرت مرزدانه‌ای و چرخش ریزدانه و مرزهای چندگوشی (XPL). (چ) ریزساختار چرخش ریزدانه (XPL). (ح) ریزساختار برآمدگی مرز دانه‌ها (XPL). (خ) ریزساختار مهاجرت مرزدانه سنجاق شده (XPL). همه نشانه‌های اختصاری بکار رفته برای کانی‌ها براساس مرجع [۲۶] هستند. Ms: مسکویت و PL: پلازیوکلاز.



شکل ۵ الف) مهاجرت مرز دانه‌ای (GBM) در کانی پلازیوکلاز (XPL). ب و پ) ماکل دگرشكلي نوك تيز شده در کانی پلازیوکلاز و حضور فلدسپات‌های سریسيتی شده (XPL). ت) ماکل‌های دگرشكلي و خاموشی موجی در کانی پلازیوکلاز (XPL). ث) نوارهای دگرشكلي پیچ خورده در کانی کلریت (XPL). ج) بافت سازنیتی در بردارنده سوزن‌های روتیل در کانی بیوتیت (PPL). چ) حضور مسکویت فنریتی و گارنت دارای شکستگی‌های متقاطع و کششی عمود بر برگواره (XPL). خ و خ) کانی گارنت در حال تجزیه به آمفیبول و اپیدوت بترتیب در XPL و PPL. فلسپار، Ms = مسکویت، Bt = بیوتیت، Grt = گارنت، Amp = آمفیبول، Ep = اپیدوت، Czo = کلینیوزوئیزیت، Chl = چلریت.

حالات موج‌دار هستند که از نظر ریخت شناسی ماکل از نوع مکانیکی محسوب می‌شوند [۲۸] (شکل‌های ۶ پ و ت). افزون بر سریسيتی‌شدن، میانبارهایی از اپیدوت و زوئیزیت نیز در آن‌ها دیده می‌شود.

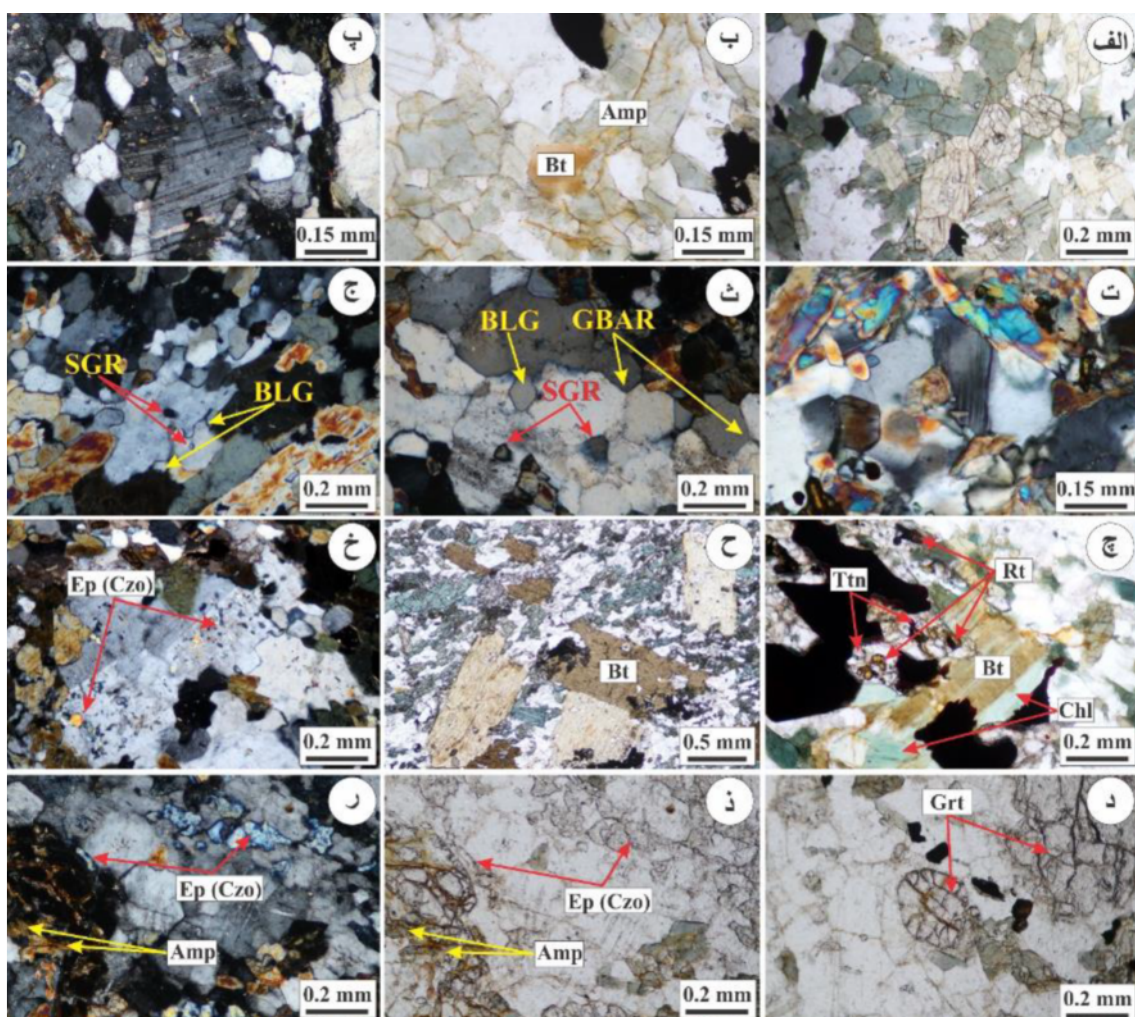
بلورهای کوارتز شکل‌دار تا نیمه‌شکل‌دار و متوسط‌بلور هستند و گاهی خاموشی موجی نشان می‌دهند. از ریز ساختارهای دیده شده در بلورهای کوارتز می‌توان به باز تبلور پویا از نوع برآمدگی مرزهای دانه (BLG)، چرخش ریز دانه و SGR)، مهاجرت مرز دانه‌ای (GBM)، ایجاد زیردانه و نودانه و سرانجام ایجاد چندگوشی‌های با زاویه 120° (GBAR) اشاره نمود (شکل‌های ۶ ث و ج). بلورهای تیتانیت به دو شکل دیده می‌شوند: برخی بلورهای بی‌شکل تیتانیت پیرامون و کنار بلورهای دارای تیتانیم چون روتیل و ایلمنیت واقع بوده و برآمده از دگرگونی پسرونده هستند (شکل ۶ چ) و در بخش‌هایی دیگر، تیتانیت بصورت بلورهای خودشکل لوزی رخ دیده می‌شود که به احتمال بسیار ناشی از بازتبلور بلورهای تیتانیت

آمفیبولیتها بیشتر دارای بافت دانه شکفتی تا ورقه دانه شکفتی هستند و از نظر کانی‌شناسی، آمفیبول، پلازیوکلاز و کوارتز در مجموع بیش از ۸۵٪ کانی‌های تشکیل‌دهنده سنگ را شامل می‌شوند. کانی‌های فرعی شامل تیتانیت، روتیل، اپیدوت (زوئیزیت و کلینیوزوئیزیت)، اکسیدهای آهن-تیتان و کمی بیوتیت و کلریت هستند. کانی آمفیبول بعنوان سازنده اصلی این گروه از سنگ‌ها اغلب به حالت کشیده با طول بیش از یک سانتی‌متر و جهت‌یافته در راستای برگوارگی اصلی سنگ با چندرنگی سبز روشن- سبز فهوده‌ای به چشم می‌خورد. آمفیبول‌ها در مقاطع طولی اغلب با یک دسته رخ و در مقاطع عرضی با دو دسته رخ نمایان شده‌اند (شکل ۶ الف). در بخش‌هایی در معرض سیر دگرگونی قهقرایی، آمفیبولیتها در لبه‌ها و در سطح خود به بیوتیت تبدیل شده‌اند (شکل ۶ ب).

بلورهای پلازیوکلاز شکل‌دار تا نیمه‌شکل‌دار بوده و ریزدانه تا متوسط‌دانه هستند. بلورهای پلازیوکلاز بیشتر دارای ماکل چندریخت با انتهای نوك تيز (مخروطی) یا حالت خمیدگی و

کانی‌های گروه اپیدوت بصورت بلورهای بی‌شکل تا نیمه‌شکل دار ریز تا متوسط‌بلور بوده و شامل زوئیزیت، اپیدوت و کلینوزوئیزیت هستند. در برخی مقاطع، بلورهای اپیدوت و کلینوزوئیزیت بصورت میانبار در کانی پلاژیوکلاز دیده می‌شوند (شکل ۶ خ). کلریت بصورت انبوهه‌های بی‌شکل با رنگ سبز کم رنگ دیده می‌شود که بنظر می‌رسد که ناشی از دگرسانی بیویت و آمفیبول باشد (شکل ۶ ج).

قدیمی‌تر است. بلورهای روتیل بصورت منشوری شکل، بسیار ریز تا ریزبلور هستند و با ایلمنیت و بندرت تیتانیت دربرگرفته شده‌اند (شکل ۶ ج). بیویت به دو صورت دیده می‌شود: بیویت متوسط‌بلور و دارای چندرنگی زرد-قهوه‌ای که در ظاهر بصورت برهم‌نهی روی بلورهای آمفیبول نمایان شده‌اند (شکل‌های ۶ ب و ج) و درشت بلورهای بیویت با چندرنگی قهوه‌ای که از جهت‌یافتنی متفاوت از جهت‌یافتنی اصلی سنگ (شکل ۶ ح).



مجموعه کانیایی اغلب بصورت بسیار ریز تا ریزبلور در سنگ نمایان هستند. در این سنگ‌ها، ریز بلورهای اکتینولیت در حال بیوتیتی شدن هستند (شکل‌های ۸ پ و ت). کانی تورمالین بصورت شکل‌دار تا نیمه‌شکل‌دار در اندازه درشت به رنگ سبز زیتونی تا سبز و قهوه‌ای روشن دیده می‌شود. روتیل، زوئیزیت، کلینوزوئیزیت، اکتینولیت و سایر کانی‌های تشکیل‌دهنده سنگ بصورت میانبارهای ریز موازی با برگواره اصلی سنگ در درشت بلورهای تورمالین آرایش یافته‌اند که می‌تواند بیانگر پسازمین ساخت بودن کانی‌های تورمالین باشد (شکل‌های ۸ ث-ج). در بخش‌هایی، رگه‌ها و حفره‌ها با کانی‌های ثانویه چون پرهنیت، کلسیت و کلریت پر شده‌اند (شکل ۸ ح).

آمفیبولیتها دارای ترکیب کانی‌شناسی نزدیک به آمفیبول-شیست‌ها هستند، با این تفاوت که کانی تورمالین ندارند و افزون بر بلورهای اکتینولیت، با فراوانی کمتر دارای آمفیبول به احتمال بسیار هورنبلند نیز هستند (شکل ۸ خ). کانی آمفیبول در این سنگ‌ها در حال بیوتیتی شدن بصورت برهم نهی یا تحمیلی (overprint) است که می‌تواند بیانگر رخداد دگرگونی قهقهه‌ای در حد رخساره شیست سبز در آن‌ها باشد، همچنین در آن‌ها، میانبارهایی از کلینوزوئیزیت نیز دیده می‌شود (شکل‌های ۸ د و ذ). بلورهای تیتانیت به دو صورت بی‌شکل و شکل‌دار وجود دارند (شکل‌های ۸ د و ذ) کانی کوارتز در این سنگ‌ها تنها دارای ریزساختار دگرشكلي برآمدگی مرز دانه (BLG) است (شکل ۸ ر).

بحث و بررسی

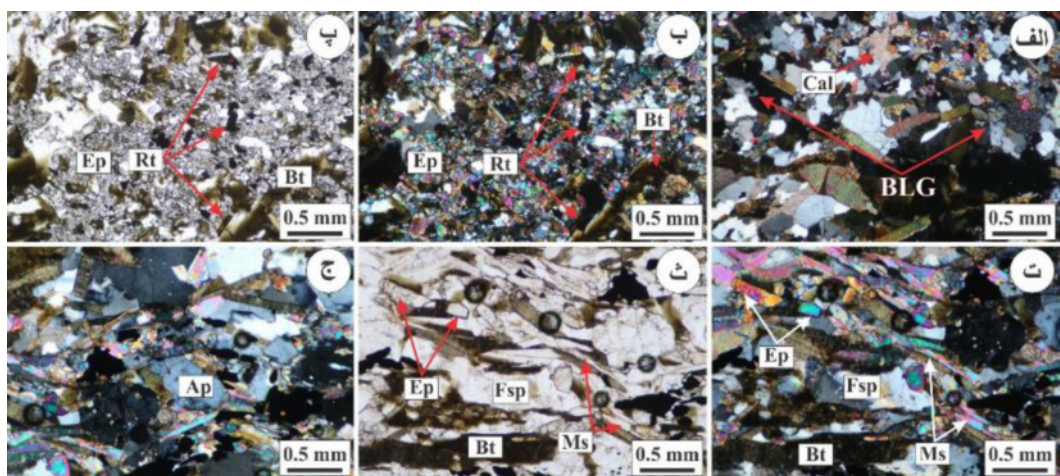
بافت‌های دگرشكلي چون برگوارگی شاخه‌ای، برگوارگی شکنجی و برگوارگی نوار برشی (بافت‌های S-C) در همه شیست‌ها و آمفیبولیتها مجتمعه توک کم و بیش دیده می‌شوند که می‌تواند بیانگر تغییر شکل ناکشسان اعمال شده در منطقه باشد [۲۹]. در شیست‌ها و آمفیبولیتها زیرپنهان مرکزی، بررسی ریز ساختارهای موجود در کانی کوارتز بیانگر گسترش فرآیند بازتابلور برگشت پذیر یا پویا بصورت تشکیل زیردانه، نودانه، بازتابلورهای پویای برآمده (BLG)، چرخش ریزدانه (SGR)، مهاجرت مرز دانه‌ای (GBM)، ایجاد چند گوشی‌های با زاویه 120° (GBAR) و خاموشی‌های موجی است (شکل‌های ۴ ث-خ و ث و ج). نودانه‌ها اغلب درون و پیرامون دانه‌های اولیه بزرگ‌تر در سنگ‌های با کرنش متوسط تا بالا رایج هستند. آن‌ها جهت‌یافتنگی و اندازه شبیه زیردانه‌های کناری دارند که این ویژگی مشخصه‌ای از بازتابلور پویا یا بازتابلور رخ داده همزنمان با زمین ساخت است [۳۰].

گارنت-آمفیبولیتها از آمفیبول، گارنت، پلازیوکلاز، کوارتز و تیتانیت بعنوان کانی‌های اصلی و کلریت، بیوتیت، روتیل و اکسیدهای آهن-تیتان بعنوان کانی‌های فرعی تشکیل شده‌اند. بلورهای گارنت به دو صورت نیمه‌شکل‌دار تا گرد شده، ریز تا متوسط‌بلور و دارای شکستگی و گاهی بصورت درشت‌بلور شکل‌دار و بدون شکستگی دیده می‌شوند. در بلورهای دارای شکستگی، شکستگی‌ها اغلب منظم و به شکل متقاطع هستند و بیشتر با کلسیت و بیوتیت پر شده‌اند (شکل ۶ د). درشت بلورهای گارنت بدون شکستگی دارای میانبارهایی از کلینوزوئیزیت و بندرت روتیل هستند. همچنین در برخی بلورهای گارنت، شواهدی از تبدیل شدن بلورهای گارنت به اپیدوت+کلینوزوئیزیت و آمفیبول دیده می‌شود (شکل‌های ۶ ذ و ر).

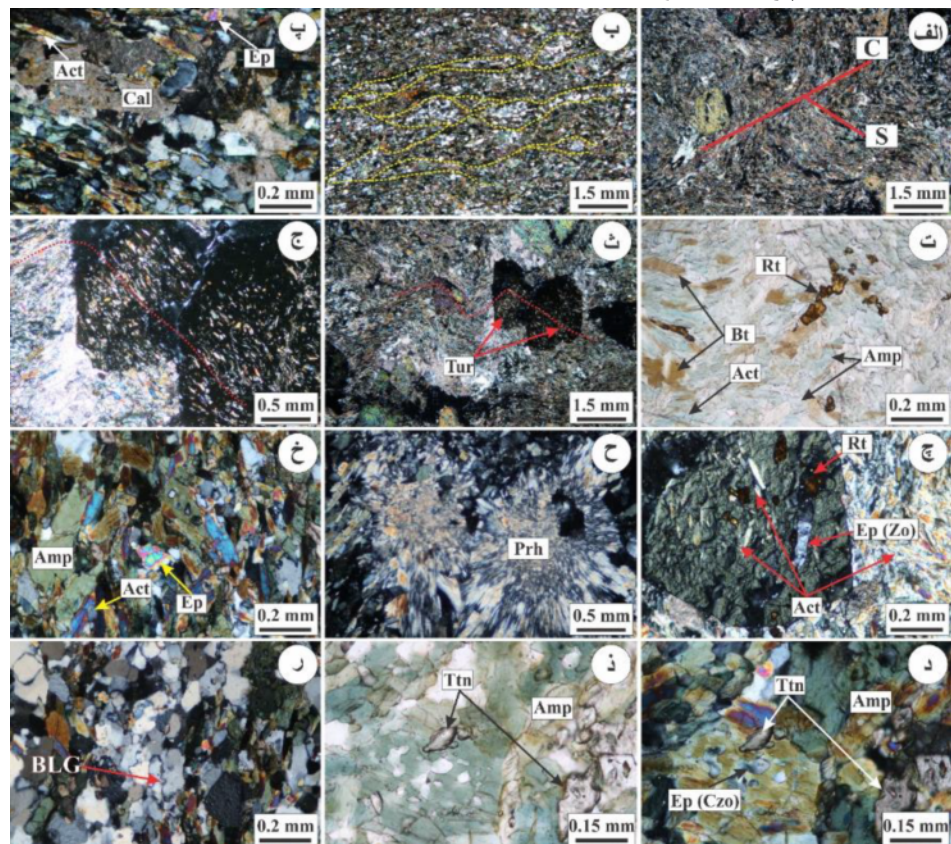
شیست‌ها و آمفیبولیتها در زیرپنهنه لبه‌ای

شیست‌های ریزدانه دارای بافت ورقه شکفتی تا ورقه‌دانه‌شکفتی بسیار ریز تا ریزبلور بوده و بترتیب فراوانی شامل اپیدوت، کوارتز، بیوتیت، فلدسپات، کلسیت، کلینوزوئیزیت، روتیل، ایلمنیت و آپاتیت اغلب در اندازه ریز تا بسیار ریز هستند (شکل ۷). کانی اپیدوت با فراوانی بیش از ۵۰٪ بصورت نیمه‌شکل‌دار تا بی‌شکل با رنگ تداخلی درجه بالا در سنگ دیده می‌شود (شکل‌های ۷ ب-ث). بندرت کلینوزوئیزیت نیز به چشم می‌خورد. بلورهای کوارتز شواهد دگرشكلي بازتابلور پویا از نوع برآمده (BLG) را نشان می‌دهند (شکل ۷ الف). ایلمنیت از نظر خاستگاه، به احتمال بسیار ناشی از دگرگونی دانه‌های روتیل بسیار ریز به این کانی است (شکل‌های ۷ ب و پ). کانی‌های فلدسپار (پلازیوکلاز و فلدسپارقلایایی) گاهی سریسیتی و رسی شده‌اند، همچنین کماپیش تیغه‌های کانی مسکویت دیده می‌شوند که بنظر می‌رسد که بهمراه بیوتیت و همزمان با آن شکل گرفته‌اند (شکل‌های ۷ ت و ث). بلور آپاتیت گاهی در برخی نمونه‌ها دیده می‌شود (شکل ۷ ج). با توجه به فراوانی کانی‌ها، این سنگ را می‌توان شیست ریزدانه (بیوتیت-اپیدوت-شیست) نامید.

آمفیبول-شیست‌ها دارای بافت ورقه شکفتی بسیار ریزبلور هستند. در این سنگ‌ها، بافت دگرشكلي بصورت برگواره شاخه‌ای و بافت S-C دیده می‌شود (شکل‌های ۸ الف و ب). این سنگ‌ها از آمفیبول (اکتینولیت)، کوارتز و پلازیوکلاز بعنوان کانی‌های اصلی، تورمالین، روتیل و اکسیدهای آهن-تیتان بعنوان کانی‌های فرعی و کانی‌های ثانویه بیوتیت، تیتانیت، کلسیت، کلریت، اپیدوت و پرهنیت تشکیل شده‌اند. این



شکل ۷ الف) کانی کوارتز با ریزساختر برآمدگی مرزهای دانه و حضور کانی کلسیت (XPL). ب و پ) کانی‌های فراوان اپیدوت در متن سنگ و بلورهای روتیل در حال تجزیه به ایلمنیت (بترتیب در XPL و PPL). ت و ث) کانی اپیدوت در متن سنگ و وجود همزنان مسکویت و بیوتیت در کنار هم و حضور فلدسپارهای در حال سربیتی شدن (بترتیب در XPL و PPL). ج) بلور آپاتیت (XPL). Cal: کلسیت، Bt: بیوتیت، Rt: روتیل، Ep: اپیدوت، Ap: آپاتیت، Fsp: فلدسپار، Ms: مسکویت.



شکل ۸ الف) بافت‌های ورقه‌شکفتی و دگرشكالی S-C در آمفیبول-شیست (XPL). ب) برگواره شاخه‌ای در آمفیبول-شیست‌ها (XPL). پ) کانی‌های اپیدوت، کلسیت و اکتینولیت در آمفیبول-شیست (XPL). ت) بلورهای آمفیبول و اکتینولیت در حال بیوتیتی شدن (PPL). ث و ج) درشت‌بلور تورمالین دارای میانبارهای هم راستا با برگواره آمفیبول-شیست‌ها (XPL). خ) میانبارهای زوئیزیت، روتیل و اکتینولیت در درشت‌بلور تورمالین. ح) بلورهای پرهنیت پرکنده حفره‌ها و شکستگی‌ها (XPL). ز) بلورهای اپیدوت، اکتینولیت و آمفیبول در آمفیبولیت (XPL). د و ذ) بلورهای لوزی رخ‌تیتانیت و آمفیبول‌های در حال بیوتیتی شدن در آمفیبولیت‌ها (بترتیب در XPL و PPL). ر) ریزساختر دگرشكالی برآمدگی مرز دانه در کانی کوارتز (XPL). (XPL = کلسیت، Ep = اپیدوت، Bt = اکتینولیت، Tur = بیوتیت، Amp = آمفیبول، Ttn = تورمالین، Rt = روتیل، Czo = کلینوزوئیزیت، Act = اکتینولیت، Prh = پرهنیت، Ttn = تیتانیت).

در شیستهای و گارنت-آمفیبولیت‌های زیرپنهن مركزی، شواهدی از تبدیل شدن بلورهای گارنت به آپیدوت+کلینوزوئیزیت و آمفیبول به چشم می‌خورد (شکل‌های ۵ و خ و ۶ ذ و ر). فرایند تبدیل گارنت به کانی‌های اپیدوت و آمفیبول می‌تواند در نتیجه عملکرد دگرگونی قهقرایی از رخساره آمفیبولیت به رخساره شیست‌سierz طی سربراوری (exhumation) باشد. در واقع، کانی‌های اپیدوت و آمفیبول در نخستین مرحله از سیر قهقرایی در رخساره اپیدوت-آمفیبولیت یا رخساره آمفیبولیت در عمق کمتر از ۳۵ کیلومتر طی بالا آمدن روی رخساره پیشین شکل می‌گیرند [۳۸].

در شیستهای ریزدانه و آمفیبول-شیستهای متناوب با مرمرهای زیرپنهن لبه‌ای، بررسی ریزساختارهای موجود در کانی کوارتز بسیار ریز تا ریزدانه بیانگر گسترش فرایند بازتابور تنها بصورت بازتابورهای پویای برآمده (BLG) با فراوانی بسیار کم است. ترکیب کانیایی آلبیت+اپیدوت (زوئیزیت)+اکتینولیت+کلریت+بیوتیت در این سنگ‌ها گویای رخساره شیست‌سierz در دمای ۴۵۰-۴۰۰ درجه سانتی‌گراد و فشار ۵-۴ کیلوبار است [۲۹]. در نمونه‌های آمفیبول-شیست، شواهدی از حضور کانی‌های بیانگر رخساره شیست‌سierz بصورت میانبارهای آرایش‌یافته موازی با برگواره اصلی سنگ در درشت بلورهای کانی تورمالین نیز دیده می‌شود. حضور کانی‌های آلبیت، کلسیت و پرھنیت در بیشتر رگه‌ها و حفره‌ها می‌تواند بیانگر تشکیل این رگه‌ها همزمان با دگرگونی رخساره شیست‌سierz پایینی در این سنگ‌ها طی آخرین مراحل بالا آمدن و سرد شدن باشد [۲۹]. بیوتیت‌شدن آمفیبول‌ها در سنگ‌های آمفیبولیتی می‌تواند تأییدی بر رخداد دگرگونی قهقرایی در حد رخساره شیست سierz باشد. در دمای ۴۴۰ درجه سانتی‌گراد، شیستهای با مقدار مناسب همنه می‌توانند شامل بیوتیت-مسکویت یا بیوتیت مسکویت و کلریت باشند که این دما نیز معادل رخساره شیست‌سierz است [۲۹].

در سنگ‌های مورد بررسی در هر دو پهنه، میانبارهای سریسیت در راستای ماکل‌های پلازیوکلاز دیده می‌شوند که می‌تواند ناشی از دگرسانی باشد. افزون بر این، در بیشتر نمونه‌های آمفیبولیت و کمابیش در نمونه‌های شیست، تبدیل روتیل به ایلمنیت و تیتانیت دیده می‌شود که از شواهد سیر دگرگونی

نبود کرنش در نودانه‌ها نشان می‌دهد که آن‌ها در مرحله پیشرفت‌های از بازیابی هستند. در شرایط رخساره شیست‌سierz، در دمای ۴۰۰-۲۵۰ درجه سانتی‌گراد و در تنفس بالا، مرزهای دانه‌ای برآمده کوارتز از دانه اصلی قدیمی‌تر جدا شده و دانه‌های به نسبت کوچک بازتابوریافته شکل می‌گیرند که بازتابور پویای برآمده (BLG) نامیده می‌شود [۳۱]. به باور استیپ و همکاران [۳۱]، بازتابورهای پویای مهاجرت مرز دانه‌ای (GBM) و چرخش ریزدانه (SGR) بیانگر دگرشكلى بترتیب در دماهای ۴۰۰-۲۸۰ و ۵۰۰-۴۰۰ درجه سانتی‌گراد هستند که معادل با رخساره دگرگونی ناحیه‌ای شیست‌سierz است. با افزایش دما در حدود ۷۰۰-۶۰۰ درجه سانتی‌گراد معادل با رخساره دگرگونی آمفیبولیت، تنظیم مرزهای دانه در شرایط ایستا منجر به چند ضلعی‌های شکل‌دار بلورهای کوارتز (GBAR) با زاویه 120° می‌شود که بیانگر تعادل مرز دانه‌ای و رشد دانه‌ها در اثر کاهش انرژی مرز دانه‌ای و ایجاد شکل‌های چندگوشی در شرایط دگرگونی درجه متوسط است [۳۲]. بعضی از این دانه‌ها خاموشی موجی نشان می‌دهند که بیانگر مرحله اولیه تشکیل ریزدانه و ادامه دگرشكلى پس از تشکیل آن‌هاست [۳۰]. این یافته‌ها با ریز ساختارهای ناشی از دگرشكلى شکل‌پذیر در گنیس‌های گرانیتی رخنمون یافته در زیرپنهن مركزی همخوانی دارند [۳۳].

از دیگر ریز ساختارهای مهاجرت مرز دانه‌ای (GBM) می‌توان به ساختارهای سنجاق شده و پنجره‌ای در پلازیوکلاز اشاره کرد (شکل‌های ۴ خ و ۵ الف). از این ریزساختار می‌توان برای تشخیص مهاجرت مرز دانه‌ها و تعیین راستای آن استفاده کرد [۳۴]. در این ریزساختار، وجود کانی دوم چون میکا مانع از مهاجرت مرز دانه می‌شود [۳۰]. حضور ماکل چندریخت با انتهای نوک تیز (مخروطی) یا حالت خمیدگی، حالت موجدار و نوارهای شکنجی و خاموشی موجی در کانی پلازیوکلاز و همچنین کلریت نمایان است که می‌تواند دلیلی بر وجود دگرشكلى پویا در حالت جامد در حد شرایط رخساره شیست-سierz باشد [۳۵ و ۳۶] (شکل‌های ۵ ب-ث و ۶ پ و ت). در این سنگ‌ها تشکیل سوزن‌های روتیل در بیوتیت سازنیتی به احتمال بسیار طی دگرگونی در حد رخساره آمفیبولیت و یا پس از آن در دگرگونی پسروندۀ در دمایی حدود رخساره شیست-سierz رخ داده است [۳۷، ۲۵].

است که این امر را می‌توان به قرارگیری احتمالی زیرپهنه لبه‌ای در بخش بیرونی تر پهنه برشی توک و شکل‌گیری آن در اعماق کمتری از پوسته قاره‌ای مربوط دانست.

قدرتانی

نویسنده‌گان مقاله از حمایت دانشکده منابع طبیعی و علوم زمین دانشگاه شهرکرد در به ثمر رساندن این پژوهش قدردانی می‌کنند.

مراجع

- [1] Owona S., Ondo J.M. Ekodeck G.E., "Evidence of quartz, feldspar and amphibole crystal plastic deformations in the paleoproterozoic Nyong Complex Shear Zones under Amphibolite to Granulite conditions (west Central African Fold Belt, SW Cameroon)", *Journal of Geography and Geology* 5(3) (2013) 186.
- [2] Spalla M.I., Zucali M., "Deformation vs. metamorphic re-equilibration heterogeneities in polymetamorphic rocks: A key to infer quality PTdt path", *Rivista Italiana di Mineralogia e Petrologia* 73. 249 (2004) 227-247.
- [3] Bell T.H., Rubenach M.J., "Sequential porphyroblast growth and crenulation cleavage development during progressive deformation", *Tectonophysics* 92(1-3) (1983) 171-194.
- [4] Bell T.H., Hayward N., "Episodic metamorphic reactions during orogenesis: the control of deformation partitioning on reaction sites and reaction duration", *Journal of Metamorphic Geology* 9(5) (1991) 619-640.
- [5] Spalla M.I., Siletto G.B., di Paola S., Gosso G., "The role of structural and metamorphic memory in the distinction of tectono-metamorphic units: the basement of the Comolake in the Southern Alps", *Journal of Geodynamics* 30(1-2) (2000) 191-204.
- [6] Passchier C.W., Myers J.S., Kröner A., "Field geology of high-grade gneiss terrains", Springer Science & Business Media (2012).
- [7] Alizadeh A., Martínez M.L., Sarkarinejad K., "⁴⁰Ar-³⁹Ar geochronology in a gneiss dome within the Zagros Orogenic Belt", *Comptes Rendus Geoscience* 342(11) (2010) 837-846.
- [8] Sarkarinejad K., Alizadeh A., "Dynamic model for the exhumation of the Tutak gneiss dome within

قهقرایی هستند. تیتانیت در سیر قهقرایی درجه متوسط و پایین دیده می‌شود و ماهیت دگرگونی دارد [۳۹].

برداشت

مجموعه دگرگونی توک بعنوان بخشی از کمرنده بوانات در کرانه شمال شرقی بخش جنوبی پهنه سنندج-سیرجان دارای تنوع سنگی، دگرگونی و دگرشکلی شبیه سایر مجموعه‌های دگرگونی این پهنه است.

اثر دگرگونی و دگرشکلی بر متاسدیمنت‌ها (شیست‌ها) و متابازیت‌های (آمفیبولیت‌های) مجموعه دگرگونی توک یکنواخت نبوده است و از درجه رخساره دگرگونی آمفیبولیت تا شیست سبز در زیرپهنه مرکزی و رخساره دگرگونی شیست سبز در زیرپهنه لبه‌ای تغییر می‌کند.

- شواهد برآمده از بررسی ریزساختارهای کوارتز در شیست‌ها (شیست آهکی، میکاشیست، گارنت-مسکویت-شیست و کوارتز-فلدسباتی-شیست) و آمفیبولیت‌ها (آمفیبولیت و گارنت-آمفیبولیت) در زیرپهنه مرکزی بیانگر عملکرد دگرشکلی پویا در شرایط حالت جامد و در گستره دمایی بیش از ۴۰۰ تا ۶۰۰ درجه سانتی‌گراد در این سنگ‌هاست. همچنین شواهد بافتی نشانگر رخداد دگرگونی قهقرایی در حد رخساره شیست سبز طی سر برآوری و پس از عملکرد دگرگونی پویا در این سنگ‌هاست.

زیرپهنه لبه‌ای از شیست‌های ریزدانه (بیوتیت-اپیدوت-شیست) و آمفیبولیت (آمفیبول-شیست و آمفیبولیت‌های ریزدانه) نسبت به زیرپهنه مرکزی تشکیل شده است که ریز ساختارهای کوارتز در این سنگ‌ها گستره دمایی رخساره شیست سبز (با دمای حدود ۴۵۰-۴۰۰ درجه سانتی‌گراد و فشار ۵-۴ کیلوبار) را نشان می‌دهد.

به طور کلی، قرارگیری زیرپهنه مرکزی در بخش میانی پهنه برشی توک و تحمل تنفس بیشتر که شواهد آن بصورت ریزساختارهای دگرشکلی متناسب با رخساره آمفیبولیت و بافت گنیسی در گنیس‌های گرانیتی دیده می‌شود، به احتمال بسیار می‌تواند بیانگر شکل‌گیری این بخش از پهنه برشی در عمق بیشتری از پوسته قاره‌ای باشد. این در حالی است که عملکرد تنفس کمتر در زیرپهنه لبه‌ای منجر به ریزساختارهای دگرشکلی کمتر و در پی آن دگرگونی قهقرایی بیشتر شده

- [18] Agard P., Monié P., Gerber W., Omrani J., Molinaro M., Meyer B., Yamato P., "Transient, synobduction exhumation of Zagros blueschists inferred from $P-T$, deformation, time, and kinematic constraints: Implications for Neotethyan wedge dynamics", Journal of Geophysical Research: Solid Earth 111 no B11 (2006).
- [19] Alizadeh A., Sarkarnejad K., Sattarzadeh Y., "Kinematic vorticity analysis within the Zagros hinterland involved-basement window, Tutak gneiss dome, southwestern Iran", Journal of Tethys 1(4) (2013) 282-290. (in Persian)
- [20] Houshmand-Zadeh A., Sheile M., Hamdi B., "Explanatory text of the Eqlid Quadrangle map, Geological Survey and Mineral Exploration of Iran, Ministry of Mines and Metals", Geological quadrangle No. G 10 (1990) scale 1: 25000.
- [21] Bendokht M., Shabanian N., Davoudian A.R., Dong Y., Cottle J.M., Johnson T.A., "Geochronology and geochemistry of Cadomian basement orthogneisses from the Tutak metamorphic Complex, Sanandaj-Sirjan Zone, Iran", Precambrian Research 362 (2021) 106288.
- [22] Stocklin J., Nabavi M.H., "1: 2,500,000 Sheet, Tectonic Map of Iran. Geological Survey of Iran" Tehran, Iran (1973).
- [23] Oveisi B., "Geological map of Surian, scale 1: 100,000", Geological Survey and Mineral Exploration of Iran, map 6750 (2001).
- [24] Nuri K., "Investigation of the genesis of Bendenow granite-gneiss with Tutak metamorphic complex, Eastern Bavanat", Ph. D thesis, Azad University of Iran (2005).
- [25] Shau Y.H., Yang H.Y., Peacor D.R., "On oriented titanite and rutile inclusions in sagenitic biotite", American Mineralogist 76(7-8) (1991) 1205-1217.
- [26] Whitney D.L., Evans B.W., "Abbreviations for names of rock-forming minerals", American Mineralogist 95 (2010) 185-187. doi:10.2138/am.2010.3371.
- [27] Ji S., Zhao P., Saruwatari K., "Fracturing of garnet crystals in anisotropic metamorphic rocks during uplift", Journal of Structural Geology 19(5) (1997) 603-620.
- [28] Ten Grotenhuis S.M., Trouw R.A.J., Passchier C.W., "Evolution of mica fish in mylonitic rocks", Tectonophysics 372(1-2) (2003) 1-21.
- [29] Passchier C.W., Trouw R.A., "Microtectonics", Springer-Verlag Berlin
- a bivergent wedge in the Zagros Thrust System of Iran", Journal of Geodynamics 47(4) (2009) 201-209.*
- [9] Ahmadi A., Hosseini B., Ahmadi P., "The investigation of thermodynamic conditions in the formation of regional metamorphic rocks of the Tutak complex (southeast of Bavanat)", Petrology, 6(22) (2015) 25-49. (in Persian)
- [10] Mohajjal M., Fergusson C.L., Sahandi M.R., "Cretaceous-Tertiary convergence and continental collision, Sanandaj-Sirjan zone, western Iran", Journal of Asian Earth Sciences 21(4) (2003) 397-412.
- [11] Davoudian A.R., Shabanian N., Genser J., Neubauer F., " $^{40}\text{Ar}/^{39}\text{Ar}$ mineral ages of eclogites from North Shahrekord in the Sanandaj-Sirjan Zone, Iran: Implications for the tectonic evolution of Zagros orogen", Gondwana Research 37 (2016) 216-240.
- [12] Sheikholeslami M.R., Pique A., Mobayen P., Sabzehei M., Bellon H., Emami M.H., "Tectono-metamorphic evolution of the Neyriz metamorphic complex, Quri-kor-e-sefid area (Sanandaj-Sirjan Zone, SW Iran)", Journal of Asian Earth Sciences 31(4-6) (2008) 504-521.
- [13] Alavi M., "Tectonics of the Zagros orogenic belt of Iran: New data and interpretations", Tectonophysics 229(3-4) (1994) 211-238.
- [14] Badr A., Davoudian A.R., Shabanian N., Azizi H., Asahara Y., Neubauer F., Dong Y., Yamamoto K., "A-and I-type metagranites from the North Shahrekord Metamorphic Complex, Iran: Evidence for Early Paleozoic post-collisional magmatism", Lithos 300 (2018) 86-104.
- [15] Riyahi Samani F., Shabanian N., Davoudian A.R., "Geochemistry and tectonic setting of granite-gneisses from Abadchi, north of Shahrekord", Iranian Journal of Crystallography and Mineralogy 26(1) (2018) 195-208. (in Persian)
- [16] Alirezaei S., Hassanzadeh J., "Geochemistry and zircon geochronology of the Permian A-type Hasanrobat granite, Sanandaj-Sirjan belt: A new record of the Gondwana break-up in Iran", Lithos 151 (2012) 122-134.
- [17] Davoudian A.R., Genser J., Dachs E., Shabanian N., "Petrology of eclogites from north of Shahrekord, Sanandaj-Sirjan zone, Iran", Mineralogy and Petrology 92(3) (2008) 393-413.

- [35] Smith J.V., William L.B., "Intergrowths of Feldspars with Other Minerals", In *Feldspar Minerals* (1988) 626-646. Springer, Berlin, Heidelberg.
- [36] Prys L.L., "Microstructures in feldspars from a major crustal thrust zone: The Grenville Front, Ontario, Canada", *Journal of Structural Geology* 15(1) (1993) 21-36.
- [37] Yui T.F., Shen P., Liu H.H., "Titanite inclusions in altered biotite from granitoids of Taiwan: Microstructures and origins", *Journal of Asian Earth Sciences* 19(1-2) (2001) 165-175.
- [38] Enami M., Liou J.G., Mattinson C.G., "Epidote minerals in high P/T metamorphic terranes: Subduction zone and high-to ultrahighpressure metamorphism", *Reviews in Mineralogy and Geochemistry* 56(1) (2004) 347-398.
- [39] Hibellot T., "Relationships between metamorphism and deformation in the Nordmannvik nappe, south of Lyngseidet: A focus on high grade relics", Master's thesis, Universitetet i Tromsø (2013).
- Heidelberg, Germany (2005). doi: 10.1007/3-540-29359-0 .
- [30] Blenkinsop T., "Deformation microstructures and mechanisms in minerals and rocks", Kluwer Academic Publishers, New York (2002) 150p.
- [31] Stipp M., StuÈnitz H., Heilbronner R., Schmid S.M., "The eastern Tonale fault zone: A 'natural laboratory' for crystal plastic deformation of quartz over a temperature range from 250 to 700 C", *Journal of Structural Geology* 24(12) (2002) 1861-1884.
- [32] Trouw R.A., Passchier C.W., Wiersma D.J., "Atlas of Mylonites-and related microstructures", Springer Science & Business Media (2009).
- [33] Bendokht M., Shabanian N., Davoudian A.R., Azizi H., Karimi M., "Dynamic deformation micro-structures in the minerals from augen gneiss of Tutak region, Sanandaj-Sirjan Zone, Iran", *Tectonics* 3(10) (2019) 41-57.
- [34] Jessell M.W., "Grain-boundary migration microstructures in a naturally deformed quartzite", *Journal of Structural Geology* 9(8) (1987) 1007-1014.